

Exemples d'utilisations de courbes en dimension 2 ou supérieure.

267

## I - Arcs paramétrés

On se place sur  $\mathbb{R}^n$  muni du produit scalaire usuel  $\langle \cdot, \cdot \rangle$ .

### A - Paramétriser, ou comment parcourir une courbe

- [BG] 312 **Def 1:** On appelle arc paramétré de classe  $C^k$  ( $0 \leq k \leq +\infty$ ) un couple  $(I, \gamma)$  où  $I$  est un intervalle et  $\gamma \in C^k(I, \mathbb{R}^n)$ .
- On appelle chemin un arc paramétré continu, et lacet un chemin  $([a, b], \gamma)$  tel que  $\gamma(a) = \gamma(b)$ .
  - On dit que  $(I, \gamma)$  est simple si  $\gamma(I)$  ne s'auto-intersecte pas.
  - [BG] 313 Soit  $(I, \gamma)$  de classe  $C^k$ . On appelle changement de paramétrage un  $C^k$ -diffeomorphisme  $\theta: I \rightarrow J$ . On appelle support de  $(I, \gamma)$  l'ensemble  $\gamma(I) = \gamma \circ \theta^{-1}(J)$ .
  - [BG] 324 323 **Def 2:** Soit  $(I, \gamma)$  un chemin  $C^1$  par morceaux. On appelle longueur de  $(I, \gamma)$  la quantité  $L(\gamma(I)) = \int_I |\gamma'|$
  - On dit que  $\gamma$  est un paramétrage par longueur d'arc ou une abscisse curviligne si  $\gamma$  est  $C^1$  et si  $\forall t \in I, \|\gamma'(t)\| = 1$ . Le cas échéant,  $\forall [a, b] \subset I, L(\gamma([a, b])) = \int_a^b |\gamma'| = b - a$ .

[BG] 325 **Req 3:**  $\int_J |(\gamma \circ \theta)'| = \int_J |\gamma' \circ \theta \cdot \theta'| = \int_I |\gamma'|$  donc la longueur d'un arc paramétré ne dépend que de son support.

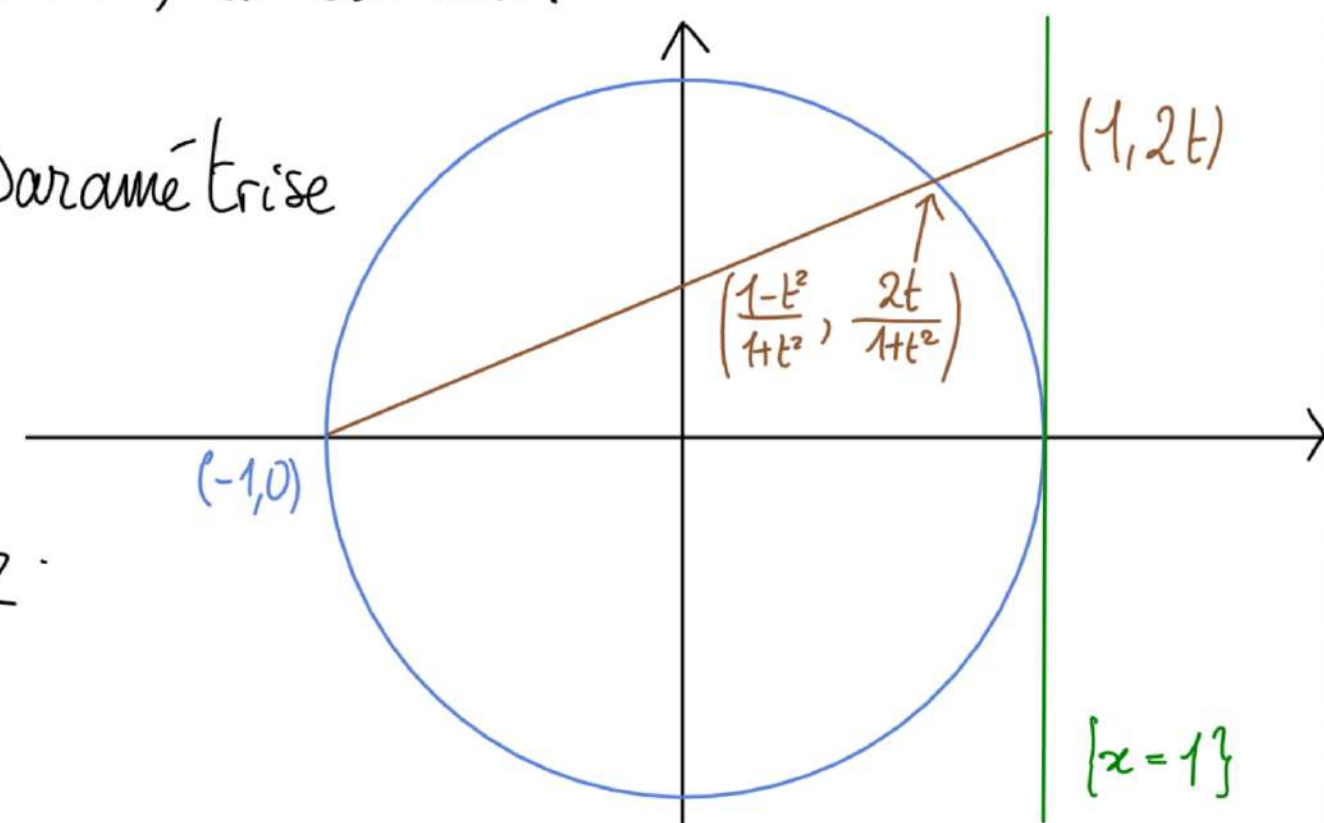
**Ex 4:** Soit  $f: I \rightarrow \mathbb{C}$ . Le graphe de  $f$  peut être paramétré par  $\gamma: I \rightarrow \mathbb{R}^2, t \mapsto (t, f(t))$ .

- Le cercle centré en  $a \in \mathbb{R}^2$  de rayon  $R > 0$  peut être paramétré par longueur d'arc par  $\gamma: [0, 2\pi R] \rightarrow \mathbb{R}^2, t \mapsto a + R(\cos(t/R), \sin(t/R))$ , et le périmètre de ce cercle, i.e. la longueur de  $(I, \gamma)$ , est  $2\pi R$ .
- $\gamma: \mathbb{R} \rightarrow \mathbb{R}^3, t \mapsto (R \cos(t), R \sin(t), at)$  décrit une hélice autour de  $(Oz)$ , de rayon  $R > 0$  et de pas  $2\pi |a|$ . Ce n'est pas une abscisse

curviligne, mais  $t \mapsto \gamma(t/\sqrt{R^2+a^2})$  en est une.

**Ex 5:**  $t \in \mathbb{R} \mapsto (\frac{1-t^2}{1+t^2}, \frac{2t}{1+t^2})$  paramétrise le cercle unité privé de  $(-1, 0)$ .

**Appli 6:**  $SO_2(\mathbb{F}_q) \cong \mathbb{Z}/(q \pm 1)\mathbb{Z}$ .



### B - Courbure

Dans cette section,  $(I, \gamma)$  est un arc lisse paramétré par longueur d'arc de  $\mathbb{R}^2$ . Soit  $p = \gamma(t)$  un point de  $\Gamma = \gamma(I)$ .

**Lemme 7:**  $\langle \gamma'(t) | \gamma''(t) \rangle = 0$ .

**Def 8:** La courbure de  $\Gamma$  en  $p$  est  $K_\Gamma(p) := \|\gamma''(t)\|$ .

• Dans  $\mathbb{R}^2$ , la courbure algébrique de  $\Gamma$  en  $p$  est  $k_\Gamma(p) := \langle \gamma''(t) | i(\gamma'(t)) \rangle$  où  $i$  désigne la rotation d'angle  $\frac{\pi}{2}$ .

**Thm 9:**  $\Gamma$  est entièrement déterminé par  $\gamma(t_0), \gamma'(t_0)$  ( $t_0 \in I$ ) et  $k_\Gamma$ .

**Ex 10:**  $\Gamma$  est une droite ssi  $k_\Gamma = 0$ .

- $\Gamma$  est un cercle de rayon  $R > 0$  ssi  $k_\Gamma = 1/R$
- [Admis] Si  $\Gamma$  est le graphe d'une fonction  $f$ , alors  $k_\Gamma = \frac{f''}{(1+f'^2)^{3/2}}$ .

### C - Applications à la mécanique du point / en géométrie

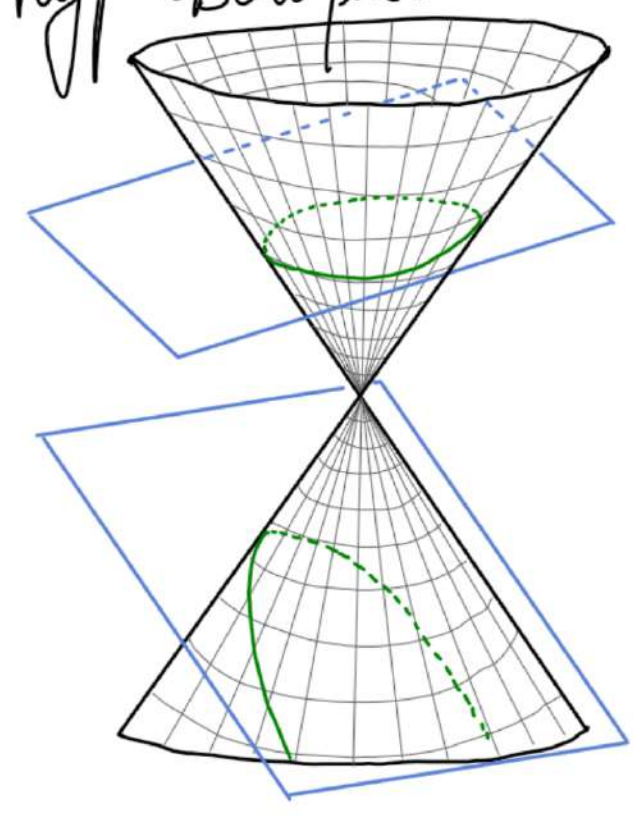
**Ex 11:** Une corde pendue entre deux points de même hauteur décrit un cosinus hyperbolique.

- Un point sur une roue décrit un cycloïde:  $t \mapsto (t - \sin(t), 1 - \cos(t))$
- Un point sur une roue qui tourne autour d'une roue identique décrit une cardioïde ( $p = a(1 + \cos(\theta))$ ):  $t \mapsto 2(1 + \cos(t))(\cos(t), \sin(t))$ .

Ex 12: On considère une particule chargée dans un champ magnétique uniforme  $\vec{B} = B \vec{e}_z$ ,  $B > 0$ ,  $\mathcal{R} = (O; \vec{e}_x, \vec{e}_y, \vec{e}_z)$  un repère orthonormé. On note  $\gamma: \mathbb{R}^+ \rightarrow \mathbb{R}^3$  une paramétrisation par longueur d'arc de sa trajectoire dans  $\mathcal{R}$ . Il existe  $a < 0$  tel que  $\forall t \in \mathbb{R}^+, \gamma''(t) = a \gamma'(t) \wedge \vec{B} = a B \lambda i(\gamma'(t))$ ,  $\lambda < 0$ . Pour tout  $t \in \mathbb{R}^+$ ,  $\gamma(t) \in (Oxy)$ , et  $\kappa_{\gamma(\mathbb{R}^+)}(\gamma(t)) = a B \lambda$ . En particulier, la particule suit un cercle dont la position et le rayon sont déterminés par  $\gamma(0)$  et  $\gamma'(0)$ .

Ex 13: On considère un satellite lancé dans l'espace. On note  $\vec{v}_0$  sa vitesse à un instant  $t_0$ . Il existe une valeur  $v_p > 0$  (appelée vitesse de libération) telle que:

- ▶ Si  $\|\vec{v}_0\| < v_p$ , alors le satellite orbite selon une trajectoire elliptique
- ▶ Si  $\|\vec{v}_0\| = v_p$ , alors le satellite a une trajectoire parabolique
- ▶ Si  $\|\vec{v}_0\| > v_p$ , alors le satellite a une trajectoire hyperbolique.



Rq 14: Les ellipses, paraboles et hyperboles, avec les cercles et les couples de droites, sont appelés coniques. Elles sont l'intersection d'un plan avec un cône.

II - Analyse complexe

Soit  $\Omega$  un ouvert de  $\mathbb{C}$ . Soit  $\gamma: [a, b] \rightarrow \Omega$  un chemin  $C^1$  par morceaux de support  $\Gamma$ .

Def 15: Soit  $f: \Omega \rightarrow \mathbb{C}$  continue sur  $\Gamma$ . On définit l'intégrale de  $f$  le long de  $\gamma$ :  $\int_{\gamma} f(z) dz = \int_a^b f \circ \gamma(t) \cdot \gamma'(t) dt$ .

Def 16: Supposons que  $\gamma(a) = \gamma(b)$ . Soit  $z \in \mathbb{C} \setminus \Gamma$ . On appelle indice de  $z$  par

rappart à  $\gamma$  la quantité: 
$$\text{Ind}_{\gamma}(z) := \frac{1}{2i\pi} \int_{\gamma} \frac{dw}{w-z}$$

Rq 17:  $\text{Ind}_{\gamma}(z)$  mesure le nombre de fois que  $\gamma$  "tourne autour" de  $z$  dans le sens trigonométrique.

Thm 18 (de l'indice):  $\text{Ind}_{\gamma}$  est à valeurs dans  $\mathbb{Z}$ , constante sur chaque composante connexe de  $\mathbb{C} \setminus \Gamma$  et nulle sur la composante non bornée.

Thm 19 (de JORDAN): Soit  $\gamma$  un lacet simple de support  $\Gamma$ . Alors  $\mathbb{C} \setminus \Gamma$  a exactement deux composantes connexes, l'une bornée, l'autre non, appelées intérieur et extérieur de  $\Gamma$ . **DEV 1 (cas  $C^1$ )**

Cor 20 (inégalité isopérimétrique): Soit  $\Gamma$  le support d'un lacet simple du plan, de longueur  $l$ . Notons  $A$  l'aire de l'intérieur de  $\Gamma$ . Alors  $A \leq \frac{l^2}{4\pi}$ , avec égalité si, et seulement si  $\Gamma$  est un cercle.

Thm 21 (de CAUCHY): Supposons que  $\gamma$  est un lacet et que  $\Omega$  est convexe. Si  $f$  est holomorphe sur  $\Omega$ , alors  $\int_{\gamma} f(z) dz = 0$ .

Appli 22: En intégrant  $z \mapsto \frac{\sin(z)}{z}$  le long de  $\Gamma_+$  de FIGURE 1, on montre que  $\int_{-\infty}^{+\infty} \frac{\sin(x)}{x} dx = \frac{\pi}{2}$  (intégrale de DIRICHLET).

Thm 23 (des résidus): Soient  $\{a_1, \dots, a_n\} \in \Omega$ ,  $f$  holomorphe sur  $\Omega \setminus \{a_1, \dots, a_n\}$ . Supposons que  $\Omega$  est convexe, que  $\gamma$  est un lacet et que  $\forall k \in \llbracket 1, n \rrbracket, a_k \notin \Gamma$ . Alors:

$$\int_{\gamma} f(z) dz = 2i\pi \sum_{k=1}^n \text{Ind}_{\gamma}(a_k) \text{Res}(f, a_k)$$

où  $\text{Res}(f, z)$  est le résidu de  $f$  en  $z$ .

Appli 24: Soit  $\alpha > 0$ . En intégrant  $z \mapsto e^{-\alpha z^2}$  le long de  $\Gamma_-$  de FIGURE 1, on montre que  $\int_{-\infty}^{+\infty} e^{-\alpha x^2} dx = \sqrt{\frac{\pi}{\alpha}}$ .

### III - Systèmes autonomes plans

#### A - Points d'équilibre, isoclines, intégrales premières

Def 25:  $\blacktriangleright$  L'isocline verticale (resp. horizontale) de  $f$  est l'ensemble:

$$I_{\infty} := \{x \in \Omega \mid f_1(x) = 0\} \quad (\text{resp. } I_0 := \{x \in \Omega \mid f_2(x) = 0\})$$

$\blacktriangleright$  L'isocline d'inclinaison  $\alpha \in \mathbb{R}$  de  $f$  est l'ensemble  $I_{\alpha} = \{x \in \Omega \mid f_2(x) = \alpha f_1(x)\}$ .

Prop 26: Soit  $\alpha \in [0, +\infty]$ . Si  $x \in I_{\alpha}$ , alors  $f(x)$  dirige une droite de pente  $\alpha$ .

Cela servira plus bas à tracer des portraits de phase, car  $y'(t) = f(y(t))$  est tangent à la courbe décrite par  $y$  en  $t$ .

Prop 27: L'ensemble des points d'équilibre de  $(E)$  est  $I_0 \cap I_{\infty}$ .

Def 28:  $\blacktriangleright$  Les courbes intégrales de  $f$  sont les trajectoires des solutions maximales de  $(E)$ .

$\blacktriangleright$  L'orbite de  $(E)$  issue de  $y_0 \in \Omega$  est la courbe intégrale de  $f$  passant par  $y_0$ .

(qui est bien unique d'après le théorème de CAUCHY-LIPSCHITZ).

$\blacktriangleright$  Une intégrale première de  $(E)$  est une fonction  $H \in C^1(\Omega, \mathbb{R})$  telle que pour toute solution  $(J, y)$  de  $(E)$ , on a  $\forall t \in J, \frac{d}{dt} [H(y(t))] = 0$ .

Pr 29: Une solution de  $(E)$  est contenue dans une ligne de niveau de  $H$ .

Ex 30: L'énergie mécanique est une intégrale première en dynamique du point.

Exemple:  $\theta'' + \omega^2 \sin(\theta) = 0 \rightarrow 2\theta'\theta' + 2\omega^2 \theta' \sin(\theta) = 0 \rightarrow H(\begin{pmatrix} \theta \\ \theta' \end{pmatrix}) = (\theta')^2 - 2\omega^2 \cos(\theta)$ .

#### B - Portraits de phase

Def 31: Un portrait de phase est une représentation géométrique de la trajectoire d'un système dynamique dans l'espace (dit "de phases") où il prend ses valeurs.

Cela correspond à la partition en orbites de l'espace des phases.

Pr 32: Par unicité dans le théorème de CAUCHY-LIPSCHITZ, chaque point de l'espace de phase appartient à une unique trajectoire: en particulier, les différentes trajectoires ne s'intersectent pas.

Ex 33:  $(E): \begin{cases} x' = y^2 - x \\ y' = x^2 + y^2 - 1 \end{cases}$  FIGURE 3: isoclines, portrait de phase

Système proie-prédateur de LOTKA et VOLTERRA

Soit  $(\alpha, b, c, d) \in (\mathbb{R}^{+*})^4$ . On considère  $(E): \begin{cases} x' = \alpha x - bxy \\ y' = -cy + dxy \end{cases}$  DEV2

Prop 34:  $H: \begin{pmatrix} x \\ y \end{pmatrix} \mapsto dx + by - c \ln(x) - a \ln(y)$  est une intégrale première de  $(E)$  sur  $(\mathbb{R}^{+*})^2$ .

Prop 35: Soient  $t_0 \in \mathbb{R}$ ,  $x_0 > 0$  et  $y_0 > 0$ . Le problème de CAUCHY  $\{(E); x(t_0) = x_0, y(t_0) = y_0\}$  admet une unique solution définie sur  $\mathbb{R}$ . Celle-ci est périodique.

FIGURE 4: Portrait de phase de  $(E)$ .

FIGURE 1

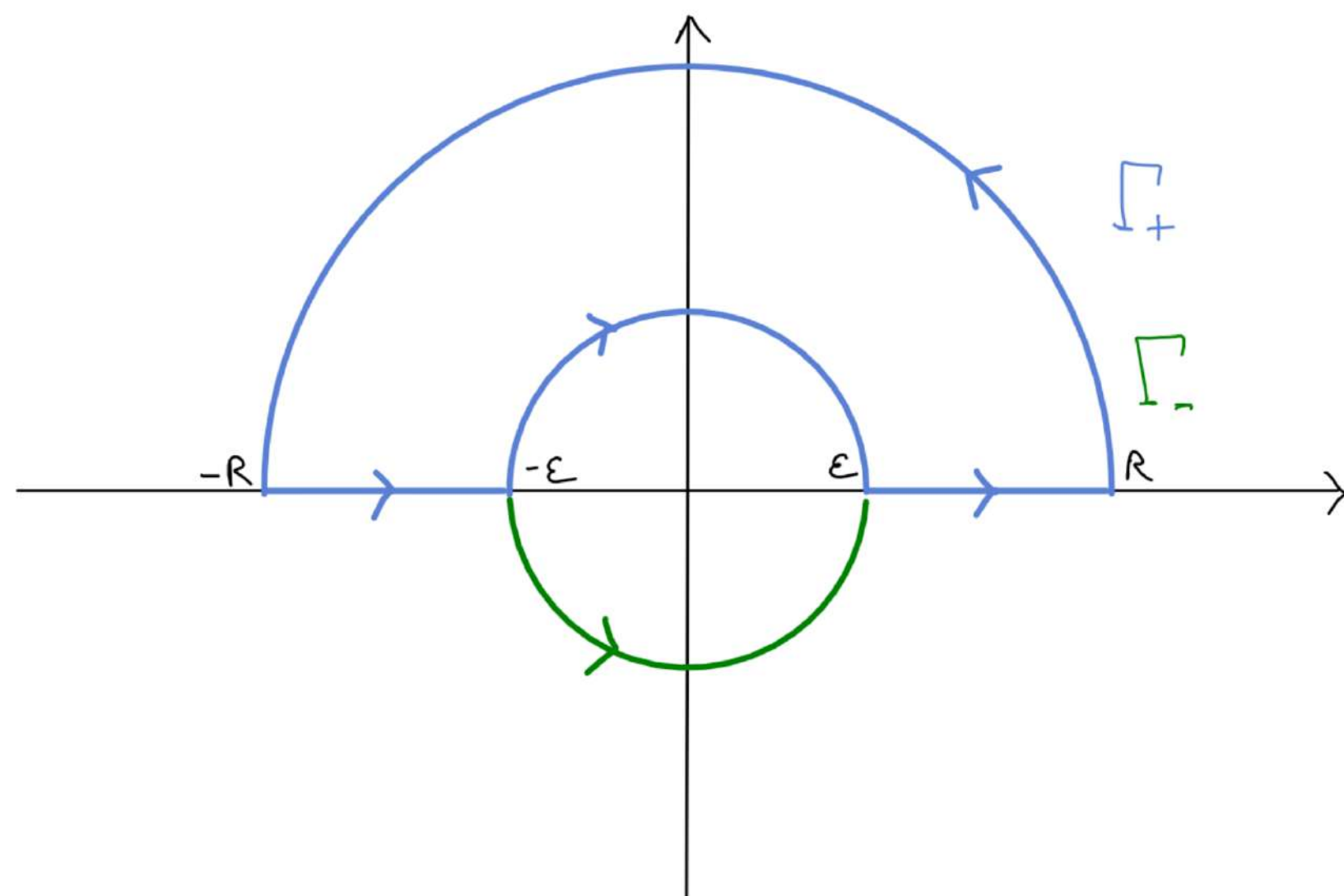


FIGURE 2: Points d'équilibre du pendule simple

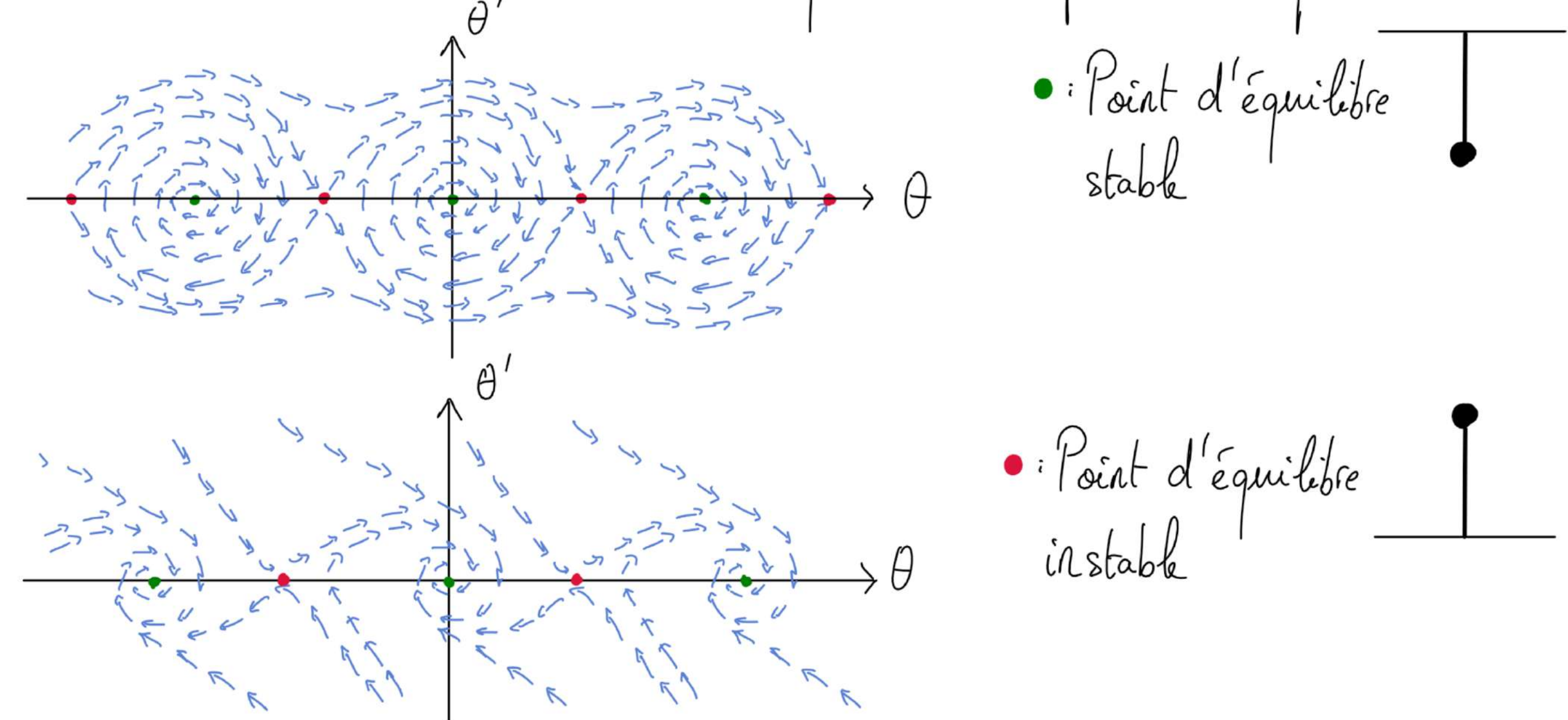


FIGURE 3: (E):  $\begin{cases} x' = y^2 - x \\ y' = x^2 + y^2 - 1 \end{cases}$  (portrait de phase)

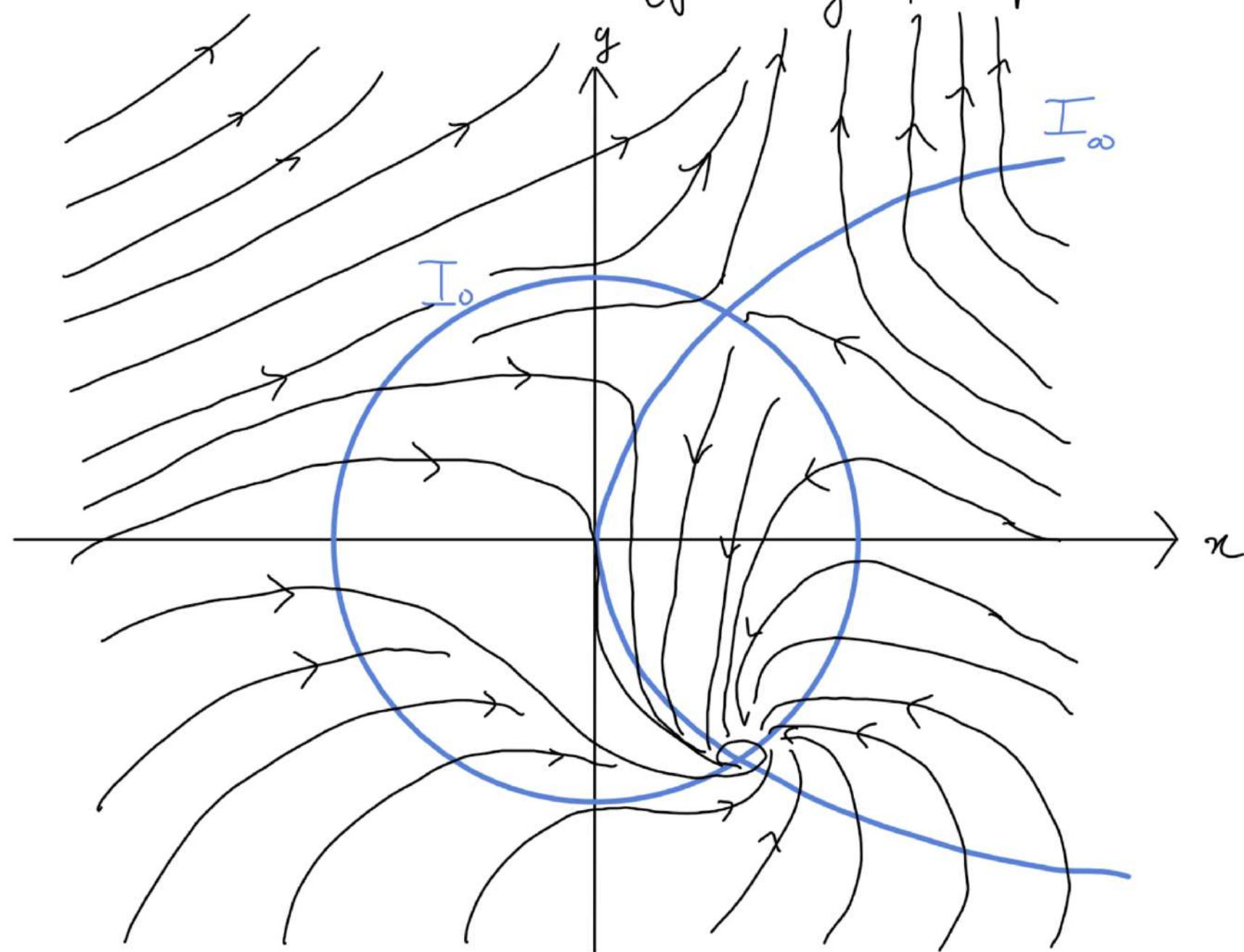
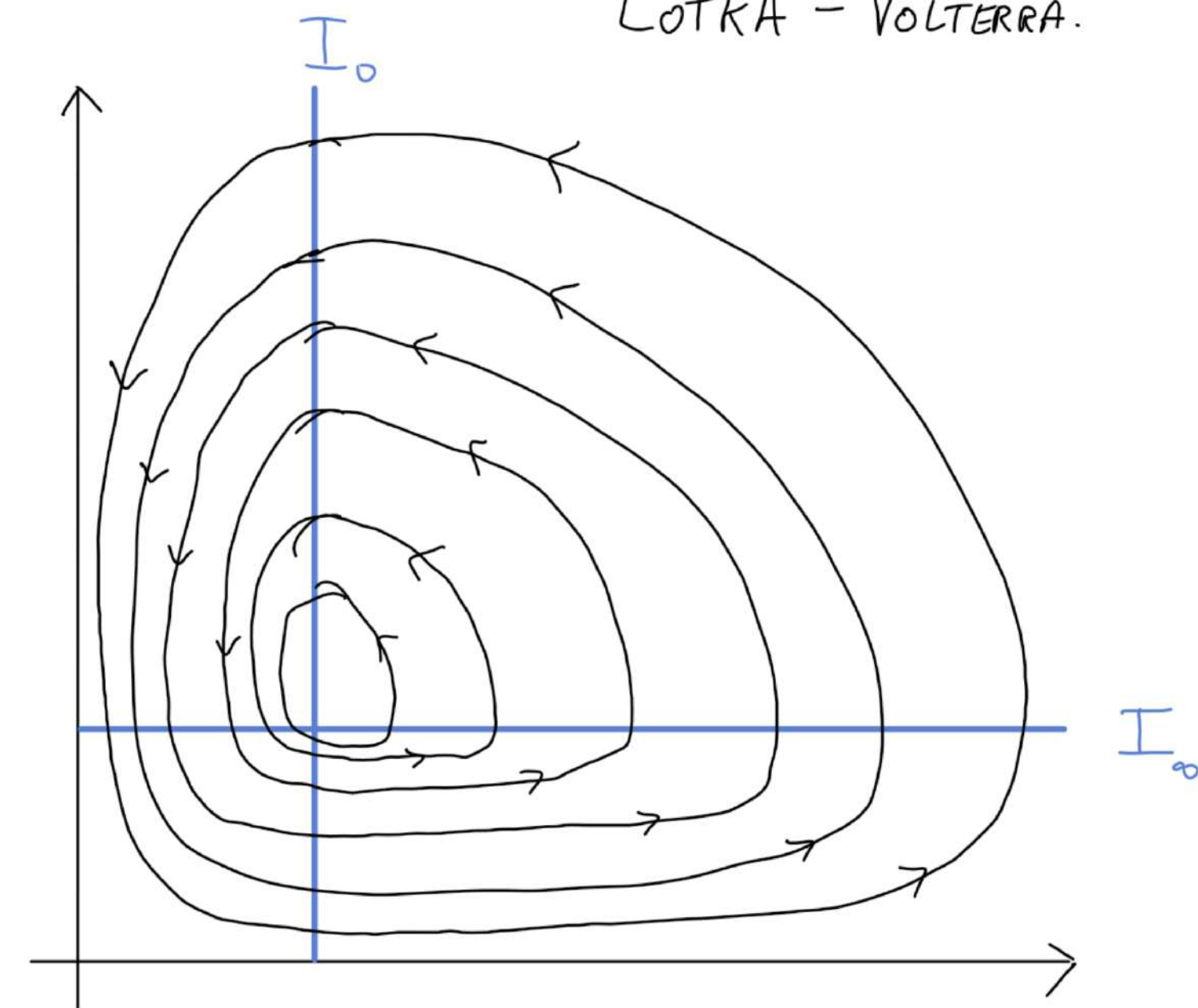


FIGURE 4: Portrait de phase du système de LOTKA - VOLTERRA.



[BG] Berger - Gostiaux

[Be] Berthelin

RÉFÉRENCES: [Au] Audin, Géométrie

[T] Tauvel, Analyse complexe pour la licence 3